

окрестности  $S$  вызывает отклонение участка дуги  $PS$  вверх и т. д. Поскольку дуга одновременно и вращается вокруг оси  $z$ , то сила  $F$  должна привести к колебаниям конца дуги в зоне шунтирования. По-видимому, частично так можно объяснить обнаруженные в [5] поперечные колебания конца дуги.

Образование вытянутой петли благоприятствует росту частоты шунтирования типа дуга — электрод вдоль линии  $DC$  (фиг. 1) в конце зоны шунтирования.

Это подтверждается уменьшением времени пребывания анодного пятна на секциях, расположенных в конце зоны шунтирования (сравните, например, длительности импульсов  $I_{4t}$  и  $I_{6t}$  на фиг. 3).

Значительное влияние собственного магнитного поля дуги на ее поведение особенно хорошо видно при больших токах. На фиг. 7, с приведена фотография движения двух радиальных участков дуги во внутреннем электроде двухкамерного плазмотрона вихревой схемы при работе на аргоне ( $d = 7 \text{ см}$ ,  $G = 160 \text{ г сек}^{-1}$ ,  $I = 1800 \text{ а}$ ). Хорошо видно, как по мере сближения двух радиальных участков из-за взаимодействия их магнитных полей скорость переднего токопроводящего канала уменьшается, а заднего — увеличивается. Затем эти каналы сливаются. Это показывает, что иногда силы в собственном магнитном поле становятся сравнимыми с силой действия потока на дугу.

Учет влияния собственного магнитного поля в зоне петли позволяет объяснить еще одно явление. Для приведенного на фиг. 2 режима работы плазмотрона среднегарифметическое расстояние между катодным и анодным пятнами дуги  $z_{0i}$  равно приблизительно 15 см. Если дуга не имеет петли и хорошо стабилизирована по оси электрода, то в этих условиях напряжение дуги такой длины порядка 330 в [6]. Тогда среднее падение потенциала на петлю будет порядка 110 в. Эта величина слишком большая, если даже принять во внимание низкую температуру газа у стенок электрода. Как известно [7], движение дуги относительно газа приводит к существенному росту напряженности электрического поля.

Поэтому можно предполагать, что в данном случае деформация и относительное движение дуги под действием собственного магнитного поля будут одной из причин большого падения потенциала в зоне петли дуги.

Авторы благодарят Ю. С. Дудникова за помощь в работе.

Поступила 9 III 1966

#### ЛИТЕРАТУРА

1. J o r d e n G. R., K i n g L. A. The nature of fluctuations present in d. c. plasma jets in argon and nitrogen Brit. J. Appl. Phys., 1965, vol. 16, No. 4.
2. M o g i t z J., N e u m a n n W., R a d e p a c h e r K. Über die Bewegung des Bogenansatzes an Plasmastrahl-Hohlanoden. Beitr. Plasma Phys. 1965, B. 5, N. 4.
3. Г е р м а н В. О., М о р о з о в М. Г. Плазмотрон постоянного тока и некоторые результаты исследования его работы. Теплофизика высоких температур, 1965, т. 2, № 5.
4. Д а у т о в Г. Ю., Ж у к о в М. Ф. Некоторые обобщения исследований электрических дуг. ПМТФ, 1965, № 2.
5. Т р о х а н А. М. Фотографическое исследование пульсаций в плазмотронах воздушной стабилизацией. ПМТФ, 1964, № 2.
6. Д а у т о в Г. Ю., Д у д н и к о в Ю. С., Ж у к о в М. Ф., С а з о н о в М. И. Распределение потенциала вдоль дуги в плазмотроне вихревой схемы. ПМТФ, 1965, № 5.
7. Б р о н О. Б. Электрическая дуга в аппаратах управления. Госэнергоиздат, 1954.

#### РАСПРЕДЕЛЕНИЕ НАПРЯЖЕННОСТИ ЭЛЕКТРИЧЕСКОГО ПОЛЯ ПО ДЛИНЕ ПРОДОЛЬНО-ОБДУВАЕМОЙ ДУГИ В ПЛАЗМОТРОНЕ ПОСТОЯННОГО ТОКА

**A. С. Васильковская, Л. И. Колонина, А. Д. Лебедев, В. Я. Смоляков**  
(Новосибирск)

В работе приводятся результаты экспериментального исследования распределения напряженности электрического поля по длине дуги, стабилизированной продольно-вихревым потоком воздуха в плазмотроне постоянного тока. Измерения проводились при помощи потенциальных зондов и показали наличие возрастания напряженности по длине дуги в направлении движения обдувающего дугу газа. Делается попытка объяснения такого возрастания изменением свойств газа при повышении его температуры в процессе теплообмена с дугой.

*Обозначения*

<i>I</i> — ток дуги;	<i>T<sub>a</sub></i> — температура дуги;
<i>G</i> — расход газа;	<i>N</i> — число Нуссельта;
<i>l</i> — расстояние по оси от внутреннего электрода;	$\lambda$ — теплопроводность газа;
<i>E</i> — напряженность электрического поля дуги в данной точке;	<i>d</i> — диаметр цилиндрического электрода;
<i>U</i> — потенциал;	<i>d<sub>a</sub></i> — диаметр дуги;
$\sigma$ — электропроводность газа;	<i>R</i> — критерий Рейнольдса;
<i>Q<sub>k</sub></i> — конвективный тепловой поток;	$\rho$ — плотность газа, рассчитанная по среднемассовой температуре;
$\alpha$ — коэффициент теплоотдачи;	<i>W</i> — средняя расходная скорость газа;
<i>T</i> — среднемассовая температура газа в данном сечении;	<i>F</i> — поверхность единицы длины дуги;
	<i>S</i> — поперечное сечение электрода;
	$\mu$ — динамическая вязкость газа;

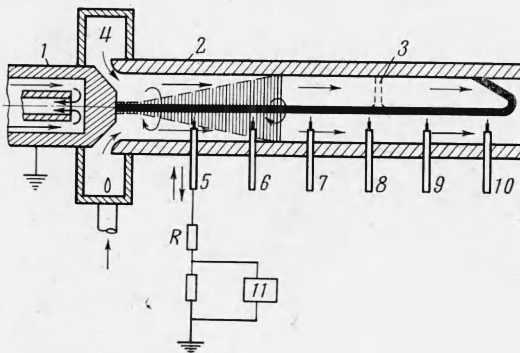
$$N = \alpha d_* / \lambda, d_* = d - d_a, R = \rho W d_* / \mu, F = \pi d_a$$

1. Описываемые измерения распределения потенциала по длине дуги проводились в плазмотроне постоянного тока с продольно-вихревой стабилизацией дуги, принцип работы которого был описан ранее [1].

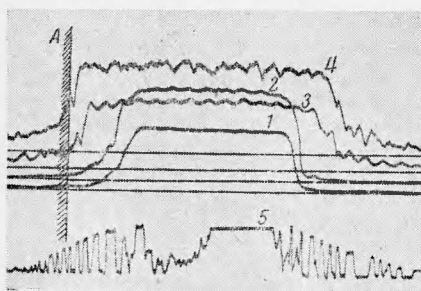
Схема описываемого плазмотрона представлена на фиг. 1 и имеет следующие особенности, связанные с характером измерений. Внутренний, охлаждаемый водой электрод 1 выполнялся из меди. Выходной электрод 2 также медный, длиной 250 мм, имел в стенке шесть специальных отверстий с внутренним диаметром 1.6 мм, в которых по трубчатым направляющим могли линейно перемещаться в плоскости, перпендикулярной оси дуги, шесть электрических зондов, предназначенных для измерения напряжения в дуге. Подача газа осуществлялась через вихревую камеру 4.

Устройство для введения зондов в поток выполнялось в виде специальной приставки, которая обеспечивала одновременный ввод зондов во внутреннюю полость выходного электрода посредством скользящего по горизонтальным направляющим коромысла с приводом от быстро действующего соленоида. Схема запуска соленоида позволяла осуществлять однократный ввод зондов с последующим возвратом в исходное положение.

Для контроля местонахождения зонда в пространстве при прохождении через электрод использовался контактор в виде набора изолированных друг от друга медных пластинок со скользящим по ним гибким контактом. Прерывистый сигнал из цепи контактора записывался одновременно с зондовыми сигналами. Зонд представлял собой вольфрамовую проволоку диаметром 0.17 мм, заключенную в кварцевый капилляр. Длина свободного конца проволоки 0.2—0.3 мм. Скорость перемещения зонда составляла 100 см/сек, время остановки в дуге 10—20 мсек. Запись зондового сигнала осуществлялась на шлейфом или электронолучевом осциллографах 11. Сопротивление в зондовой цепи равнялось 360 ком. Запись тока производилась на самопищущем приборе типа Н-375, расход воздуха через плазмотрон измерялся при помощи ротаметров.



Фиг. 1



Фиг. 2

Эксперименты проводились на воздухе в диапазоне токов  $I = 40$ — $160$  а и расходов  $G = 5$ — $15$  г/сек при обратной полярности (выходной электрод — катод) и внутреннем диаметре выходного электрода  $d = 10$  мм. Первый зонд располагался на расстоянии 50 мм от внутреннего электрода, остальные — далее через 40 мм. Количество измерений в каждом режиме колебалось от 7 до 30.

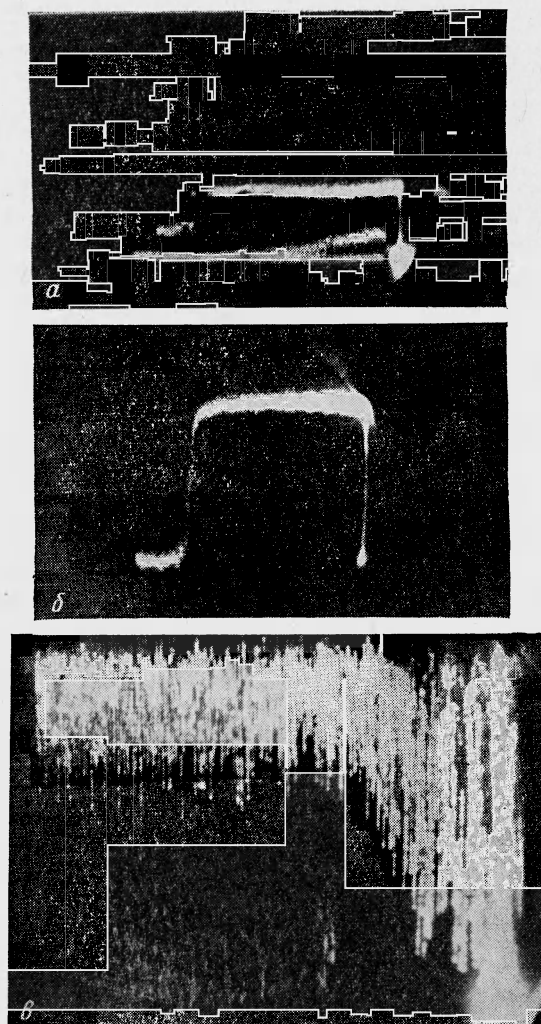
**2.** Характерная осцилограмма зондовых сигналов, полученная на шлейфовом осциллографе при измерении напряжения на зондах по отношению к внутреннему электроду, представлена на фиг. 2. Осцилограмма получена при токе  $I = 80$  а и расходе воздуха  $G = 11$  г/сек. Цифрами 1—4 обозначены соответствующие зондовые сигналы, цифрой 5 — отметчик расстояния.

Зондовые сигналы имеют относительно крутой фронт нарастания, а ширина эквипотенциального участка сигнала зонда, амплитуда которого в  $e$  равна потенциалу дуги в данном сечении, увеличивается по мере удаления от внутреннего электрода. Это связано с тем, что в начальных сечениях между дугой и стенкой имеется значительной толщины слой холодного «непроводящего» газа, а в удаленных сечениях горячий газ заполняет большую часть сечения канала, и при фиксированном  $R$  при входе зонда в канал электрода отклонение начинается раньше.

Однако из полученных результатов нельзя сделать заключений об изменении диаметра ядра дуги по длине электрода и о радиальном распределении потенциалов, для этого необходимы специальные эксперименты.

Наличие эквипотенциальной полочки свидетельствует, что плазма, окружающая дугу, принимает потенциал, в пределах погрешности эксперимента равный потенциалу дуги в данном сечении. Однако это справедливо только для областей дуги, удаленных от области шунтирования, в которой интерпретация зондовых сигналов сильно усложняется из-за сложной картины расположения эквипотенциальных поверхностей, определяемых петлями дуги. Исследования, проведенные в работах [1, 2] при помощи скоростного фотографирования, показывают, что световой диаметр (заведомо больший диаметра ядра дуги) в условиях, аналогичных исследуемым, мало меняется по длине и не превышает 3—4 м.м.

Колебания напряжения на зондах, близких к внутреннему электроду, видные на осциллограммах, полученных на электроннолучевом осциллографе (фиг. 3, а, б), вызваны, по-видимому, колебаниями тока и давления, связанными с процессом шунтирования дуги в выходном электроде. Для зондов, попадающих в



Фиг. 3

область шунтирования, при записи на электронном осциллографе (фиг. 3, в) наблюдаются колебания напряжения, характерные для полного колебания напряжения на дуге при изменении ее длины в процессе шунтирования [3] (на фиг. 3, а — в, изображены соответственно сигналы первого, третьего и пятого зондов в одинаковом масштабе; отклонение третьего зонда соответствует 320 в).

**3.** В результате экспериментального исследования распределения напряженности электрического поля по длине дуги, стабилизированной продольно-вихревым потоком воздуха при токах  $I = 40, 60, 80, 100, 120$  а и расходах  $G = 5, 11$  и  $15$  г/сек, всюду, кроме участка радиального вдува газа в районе вихревой камеры, получено возрастание напряженности в направлении движения газа. Для области дуги между первым и пятым

зондами ( $l = 5-21 \text{ см}$ ) получены следующие величины напряженности. Если в сечении  $l = 7 \text{ см}$  среднее значение напряженности равнялось примерно  $22-24 \text{ в/см}$  — для  $G = 11 \text{ г/сек}$  и  $20-22 \text{ в/см}$  — для  $G = 5 \text{ г/сек}$  в диапазоне изменения токов  $I = 40-80 \text{ а}$ , то в сечении  $l = 14.5 \text{ см}$  в том же диапазоне токов оно составляло  $32-35 \text{ в/см}$  — для  $G = 11 \text{ г/сек}$  и  $27-28 \text{ в/см}$  — для  $G = 5 \text{ г/сек}$ . Для сечения  $l = 7 \text{ см}$  полученные в настоящей работе значения напряженности совпадают с данными работы [4] для идентичных условий горения дуги.

Для конца дуги, подверженного шунтированию (зона за четвертым зондом для  $I = 40-80 \text{ а}$ ), величина зондового сигнала, записанного на шлейфовом осциллографе, не является достоверной. В этом случае часть времени зонд находится вне дуги (при укорочении ее в момент шунтирования), а шлейф (рабочая частота  $450 \text{ герц}$ ) не успевает следить за изменением напряжения дуги при шунтировании (частота шунтирования  $2-9 \text{ кгц}$ ). Для этой области достоверное измерение напряженности поля может быть проведено путем обработки зондовых сигналов, полученных на электроннолучевом осциллографе (по максимальному значению потенциала на зонде, когда зонд заведомо находится в столбе дуги). При токе  $I = 80 \text{ а}$  и расходе  $G = 11 \text{ г/сек}$  определенная таким способом напряженность в сечении  $l = 21 \text{ см}$  имела значение  $55 \text{ в/см}$ .

На фиг. 4 в качестве примера приведено распределение потенциала  $U$  и напряженности  $E$  по длине столба дуги, полученное при расходе воздуха  $G = 11 \text{ г/сек}$  и токе  $I = 80 \text{ а}$  из обработки осциллограмм, аналогичных изображенным на фиг. 3, по максимальному значению потенциала на зонде. В области, не подверженной шунтированию, кривые распределения потенциала, полученные при записи сигналов на шлейфовом и электронном осциллографах, практически совпадают. Кривая напряженности в области за первым зондом построена по результатам дифференцирования кривой распределения потенциала. Штриховая линия в области между первым зондом и внутренним электродом проведена условно, так как распределение потенциала здесь может иметь существенные особенности, связанные с наличием участка радиального вдува, где градиенты напряжения могут быть значительно выше, чем в области продольного обдува дуги газом [5]. Кроме того, величина приэлектродного падения напряжения в таких условиях точно неизвестна.

4. Как видно из предыдущего раздела, по длине дуги имеется значительное изменение напряженности. Можно предположить, что в стационарном режиме горения дуги при постоянном токе это изменение происходит в основном за счет изменения условий теплообмена по длине дуги ввиду перемены параметров обдувающего дугу воздуха. Пренебрегая для наших условий излучением [6] и считая, что перенос тепла от дуги осуществляется конвекцией, запишем приближенное уравнение теплового баланса для элемента объема дуги в виде

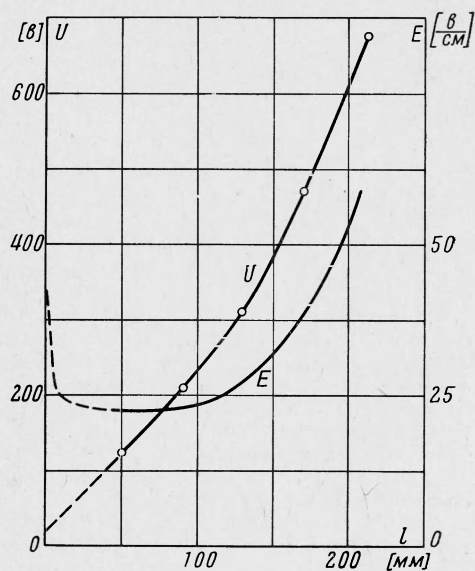
$$\sigma E^2 = Q_k \quad (4.1)$$

Используя известное соотношение  $Q_k = \alpha F \Delta T$  и представляя дугу как твердое тело, что оправдывается существованием резкой границы столба дуги, проследим изменение напряженности в зависимости от изменения конвективного потока тепла. Для теплообмена между коаксиальными цилиндрическими электродами при вынужденной конвекции в воздухе можно записать, основываясь на [7], зависимость числа Нуссельта от числа Рейнольдса  $N = C(R)^m$ , где  $m = 0.8$  для развитого турбулентного потока.

Учитывая вышеизложенное, получаем для коэффициента теплоотдачи с поверхности столба дуги

$$\alpha = \frac{C \lambda}{d - d_a} \left[ \frac{\rho W (d - d_a)}{\mu} \right]^m \quad (4.2)$$

Рост температуры газа по длине электрода приводит к уменьшению средней плотности и возрастанию средней скорости течения газа. Учитывая, что в стационарном



Фиг. 4

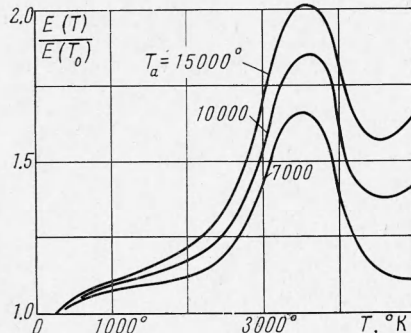
режиме горения справедливо  $\rho W = G/S = \text{const}$  и используя для молекулярной теплопроводности  $\lambda$  полуэмпирическую формулу [8]

$$\lambda = \mu (aC + b) \approx a\mu C_p \quad (b \ll aC_p) \quad (4.3)$$

(здесь  $a$  и  $b$  — постоянные), получаем

$$\alpha = \frac{C_1 C_p \mu^{1-m}}{(d - d_a)^{1-m}} \quad (4.4)$$

Из (4.1) и (4.4) запишем выражение для напряженности электрического поля в виде



Фиг. 5

Для одноатомных газов  $C_p$  монотонно возрастает вплоть до температуры, соответствующей началу первичной ионизации. Для двух и более атомных газов на характер изменения  $C_p$  влияет также диссоциация молекул, имеющая место при сравнительно небольших температурах. Так, для воздуха пик теплоемкости, соответствующий диссоциации кислорода, имеет место для давления, близкого к атмосферному, при температуре  $T = 3500^\circ\text{K}$ . При этом, начиная с  $T = 2000^\circ\text{K}$  до  $T = 3500^\circ\text{K}$ , теплоемкость увеличивается более чем в три раза.

Такое резкое возрастание  $C_p$  должно вызвать для этого диапазона температур, согласно (4.5), резкое возрастание напряженности. В то же время в диапазоне от  $T = 300^\circ\text{K}$  (температура входящего в плазмотрон воздуха) до  $T = 2000^\circ\text{K}$  изменение напряженности должно быть незначительным, так как  $C_p$  возрастает слабо (на 10%).

На фиг. 5 представлены полученные расчетным путем по формуле (4.5) кривые  $E(T)/E(T_0)$  в зависимости от  $T$  для трех значений температуры столба дуги ( $T_0 = 300^\circ\text{K}$ ). По данным работ [8, 9], температура столба дуги в условиях, близких к описываемым экспериментом, лежит в области  $T = 7000-15000^\circ\text{K}$ .

Таким образом, для исследованного диапазона параметров картина изменения напряженности, полученная экспериментально, качественно совпадает с расчетом, проведенным на основе предложенной гипотезы.

Из фиг. 5 видно также, что в области между температурами, соответствующими диссоциации кислорода и азота, появляется местный минимум напряженности. Была желательна экспериментальная проверка существования этого минимума при  $T = 4500^\circ\text{K}$ , который в наших экспериментах не был обнаружен ввиду того, что максимальная температура в доступной измерению области по длине дуги не превышала  $3000-3500^\circ\text{K}$ .

Кроме того, на процесс установления напряженности в столбе дуги могут оказывать влияние колебания дуги при шунтировании. Поэтому представляет интерес определение распределения напряженности в дуге, горящей в условиях продольно-вихревого обдува, но при отсутствии шунтирования (при фиксированной длине).

5. Рассмотрим теоретически влияние на напряженность дуги изменения расхода газа при принятых в п. 4 предположениях. Из уравнения (4.5), считая  $d$  и  $d_a$  постоянными, а  $G$  переменным, получаем

$$E = C_3 G^{1/2m} \mu^{1/(1-m)} C_p^{1/2} (T_a - T)^{1/2} \quad (5.1)$$

Анализ зависимости (5.1) показывает, что с увеличением расхода напряженность столба дуги должна возрастать. Однако для какого-либо фиксированного сечения в области  $T < 3500^\circ\text{K}$  увеличение расхода в  $n$  раз не должно приводить к увеличению напряженности в  $n^{1/2m}$  раз, так как увеличение расхода ведет к уменьшению температуры в данном сечении, что влечет за собой уменьшение произведения  $\mu^{1/(1-m)} C_p^{1/2} (T_a - T)^{1/2}$  при  $T_a \gg T$ , особенно в области резкого изменения  $C_p$ .

Для сечений, где увеличение расхода приводит к уменьшению температуры от  $4500^{\circ}$  К до  $3500^{\circ}$  К для воздуха, возрастание величины  $C_p$  должно, наоборот, усиливать зависимость напряженности от расхода.

Характер изменения напряженности с увеличением расхода, полученный расчетом по формуле (5.1), примерно совпадает с экспериментально полученными данными.

На фиг. 6 приведены экспериментальные кривые 1—5 зависимостей напряженности от тока для пяти сечений, расположенных от внутреннего электрода на расстояниях, соответствующих  $l = 5, 6, 7, 8, 9$  см при расходе воздуха  $G = 5$  г/сек. Для  $G = 11$  г/сек характер изменения напряженности аналогичен. Для данного диапазона изменения токов зависимость изменения напряженности имеет U-образный характер с минимумом в районе  $I = 50-80$  а. Подобный характер изменения напряженности совпадает с таковым для стабилизованных дуг по результатам измерений Меккера [9] (для дуги, обжатой шайбами), с результатами Бранна, Борисоглебского [8] (для дуги, горящей в узкой щели), с результатами Мезона [8] (дуга горит в узком цилиндрическом канале) и нашими результатами для дуги, горящей в кварцевой трубке при продольно-вихревом обдуве воздухом.

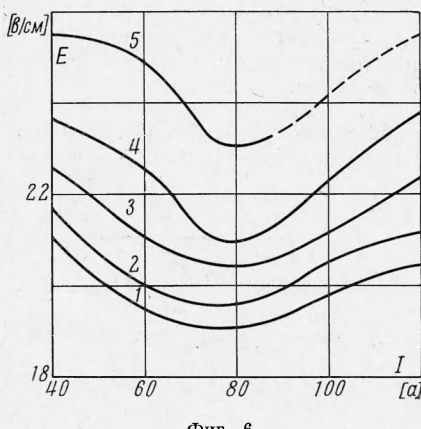
Для дуг, стабилизованных стенкой, в работе [10], например, получена теоретическая U-образная кривая изменения напряженности от тока. Такой вид кривой является следствием изменения электропроводности и теплопроводности газа с изменением температуры в столбе дуги при изменении тока. Учитывая общность кривых изменения напряженности от тока для различного вида стабилизации дуг (см. выше), можно предполагать и одинаковые причины возникновения U-образного характера функции  $E = f(I)$  для разных типов стабилизации, в том числе — и при стабилизации дуги продольно-вихревым потоком.

В заключение следует отметить явную недостаточность экспериментальных и теоретических исследований, касающихся дуги, отжатой от стенок продольно-вихревым потоком газа. Получение данных, особенно количественных, для такого типа дуг, широко используемых в реально применяемых плазменных генераторах, весьма важно для расчета длины дуги в плазмотронах с самоустанавливающейся длиной дуги [1, 10].

Поступила 18 II 1966

#### ЛИТЕРАТУРА

- Колонина Л. И., Смоляков В. Я. Вращательное движение приэлектродных участков и особенности расположения столба дуги в плазмотроне с вихревой газовой стабилизацией. ПМТФ, 1965, № 3.
- Трохан А. М. Фотографическое исследование пульсаций в плазмотронах с воздушной стабилизацией. ПМТФ, 1964, № 2.
- Смоляков В. Я. О некоторых особенностях горения электрической дуги в плазмотроне постоянного тока. ПМТФ, 1963, № 6.
- Даутов Г. Ю., Дудников Ю. С., Жуков М. Ф., Сazonov M. I. Распределение потенциала вдоль дуги в плазмотроне вихревой схемы. ПМТФ, 1965, № 5.
- Kirschtein B., Korpelmann F. Der Elektrische Lichtbogen in schnellstromenden Gas. Berlin, 1937.
- Финкельнбург В., Меккер Г. Электрические дуги и термическая плазма. Изд. иностран. лит., 1962.
- Авериин Е. К., Инаятов А. Я., Кондратьев Н. С., Кусиков В. А., Михеев М. А., Федынский О. С. Теплоотдача при движении жидкости в кольцевых и щелевых каналах. Сб. «Теплоотдача и тепловое моделирование», Изд-во АН СССР, 1959.
- Залесский Л. М. Электрическая дуга отключения. Госэнергоиздат, 1963.
- Маескер H., Messung und Auswertung von Bogencharakteristiken. Z. Physik, 1960, B. 158, N. 4.
- Бетлуцкий В. Н., Онуфриев А. Т., Севастяненко В. Г. Расчет цилиндрической электрической дуги с учетом переноса энергии излучением «Низкотемпературная плазма». ПМТФ, № 4, 1965.



Фиг. 6